

Informe de vegetación fin de otoño 2026 para la Cuenca del Salado.

Ing. Agr. Magister UBA Ariela Cesa
Mayo 2026

Colaboradores INTA: Ing. Agr. José Otondo, Martín Andersen, Alejandra Casal, Sebastián Sánchez, Marcelo Braco y Pedro Ezcurdia; Med.Vet. Dante Huica, Agustín Tiberio, Federico Guzmán, Alejandro Rodríguez y Tec. Juan Carlos Messa.

Colaboradores extra INTA: Med. Vet. Fernando Dumon y Jorge Dieguez (actividad privada), Ing. Agr. Santiago Balda (CEA 27 Tapalqué)

Estación Experimental
Agropecuaria
Cuenca del Salado

Instituto Nacional de
Tecnología Agropecuaria
Argentina



Informe de vegetación fines de otoño 2026 para la Cuenca del Salado. N° 24

Una mirada integral que conjuga la información satelital con la experiencia de extensionistas y asesores en sus recorridos a campo



Introducción:

Para quienes nos siguen habitualmente en cada informe cuatrimestral, queremos comentarles que seguimos trabajando con la página de SEPA <https://sepa.inta.gob.ar> perteneciente al Instituto de Clima y Agua de INTA Castelar y la plataforma <https://glam1.gsfc.nasa.gov/> (de consulta libre y gratuita, Global Agricultural Monitoring USDA-NASA). De estas fuentes de información obtenemos las imágenes de Anomalía del IVN, configuramos los gráficos de evolución del IVN. La información aportada por SEPA es trabajada, realizando el recorte para los partidos de Cuenca del Salado y aplicando la escala de colores acordada.

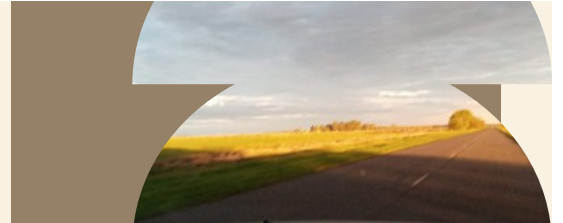
Para quienes nos leen por primera vez, les explicamos la información que nos aporta el IVN (Índice de vegetación Normalizado) y qué nos indica la anomalía. El sensor del satélite MODIS Terra, satélite a partir del cual las plataformas utilizadas se nutren de la información satelital, recibe un amplio rango de longitudes de onda. El IVN hace uso de las longitudes de onda del rojo e infrarrojo cercano, las cuales se relacionan con el proceso de fotosíntesis y en consecuencia se relaciona con la tasa de crecimiento de la vegetación. Dado que cada tipo de cobertura vegetal presenta distinta eficiencia en el uso de la radiación fotosintéticamente activa, se requiere de mucha información de campo georreferenciada, para convertir el valor de IVN a kg MS/ha. Se debe conocer qué tipo de cobertura vegetal hay en cada sitio y en cada momento del año, para asignar correctamente el factor de eficiencia en el uso de la radiación, el cual para un mismo recurso forrajero puede presentar valores de 0,29 o 06 por ejemplo a lo largo del año. Estos informes, los elaboramos en base el valor de IVN, sin transformarlos en tasa de crecimiento, y nos centramos en la anomalía, poniendo el foco en como se comporta el IVN en relación a los valores promedio. Recordamos también que la imagen satelital que se emplea en este informe, tiene una resolución espacial de 250 x 250 m, es decir que cada dato de IVN está representando 6,25 ha. De esta forma, en sitios muy heterogéneos en su cobertura vegetal, donde en 6 ha hay más de un tipo de cobertura, es imposible separar cada tipo de cobertura individualmente.

La anomalía del IVN relaciona el valor actual del IVN en relación al promedio histórico para el mismo período. El satélite tiene un trayectoria predefinida, lo cual establece fechas fijas a partir de las cuales se genera el compilado de 8 o 16 días. De esta forma, es posible comparar para cada período el dato actual con el promedio histórico. La anomalía puede estar expresada en valores de desvío estándar como es el caso de la imagen generada desde SEPA o en valores porcentuales, como es el caso de <https://glam1.gsfc.nasa.gov/>. **La anomalía nos muestra si estamos con valores cercanos o lejanos al promedio histórico (2000-2023).** La imagen pura se presenta en blanco y negro, con el gradiente de gris según el valor de IVN. Para facilitar la interpretación de la misma, se aplica una escala de color, en función de los rangos propuestos. De esta forma, cada fuente de información SEPA o GLAM, presentará una escala de color diferente. Estas escalas buscan generar una asociación más intuitiva, utilizando los colores verdes cuando la situación es positiva y los marrones o rojos, cuando es negativa.

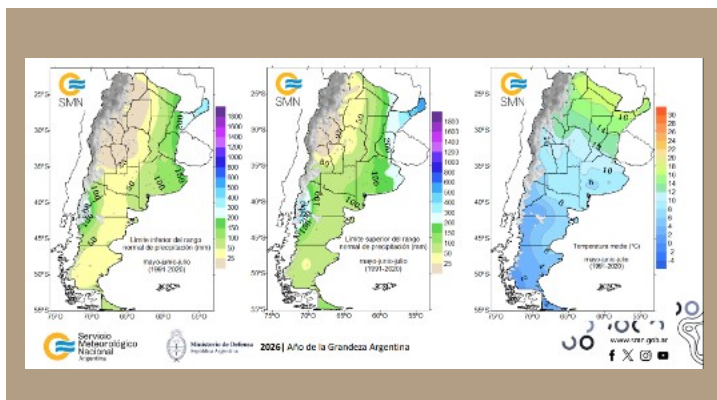
La escala de colores asignada (verde-blanco-marrones; para el producto de GLAM y verde-amarillo-rojo para el producto del SEPA) nos permite saber si los valores actuales se encuentran cercanos al promedio (blancos o amarillos), por arriba (píxeles verdes) o por debajo (píxeles marrones o rojos) del promedio. Cuanto mayor intensidad tiene el verde, quiere decir que el valor actual del IVN se encuentra más alejado promedio en forma positiva, mientras que cuanto más rojo o marrón los valores resultan más negativos. De esta forma, podemos saber que la tasa de crecimiento (estimada a partir del IVN) se encuentra en el promedio, por encima o por debajo.

Para el presente informe se tomó la información de enero a mayo de 2026, para las imágenes de anomalía y desde agosto del 2025 para el gráfico de evolución del IVN por partido. Se presenta la información de evolución del IVN para los partidos de Ayacucho, Azul, Chascomús, Punta Indio, Maipú, Madariaga, Las Flores, Rauch, Tapalqué y Saladillo.

Información climática

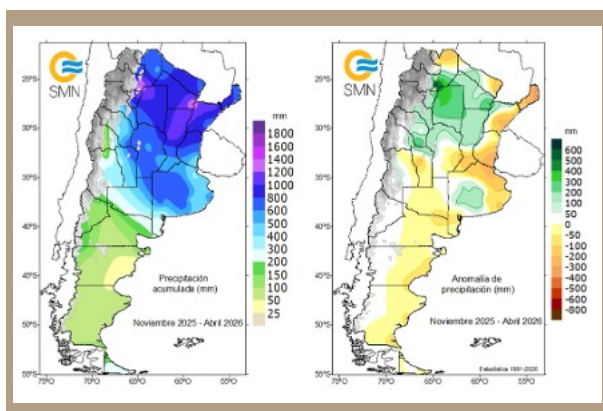


La información satelital es acompañada por información agroclimática. Nos nutrimos de la información disponible en la página del Servicio Meteorológico Nacional <https://www.smn.gov.ar/clima/vigilancia-mapas> y en <https://sepa.inta.gov.ar/productos/agrometeorologia>. Sumamos información de registros manuales de la localidad de Chascomús, registrados por personal de INTA y los datos brindados por los productores a la Sociedad Rural de Rauch.



Valores medios inferiores y superiores en precipitaciones y valores medios en temperaturas

Estos mapas nos muestran la amplitud promedio en las precipitaciones y temperatura, para el periodo invernal (junio-julio-agosto). Sobre estos valores se puede entonces calcular las anomalías.

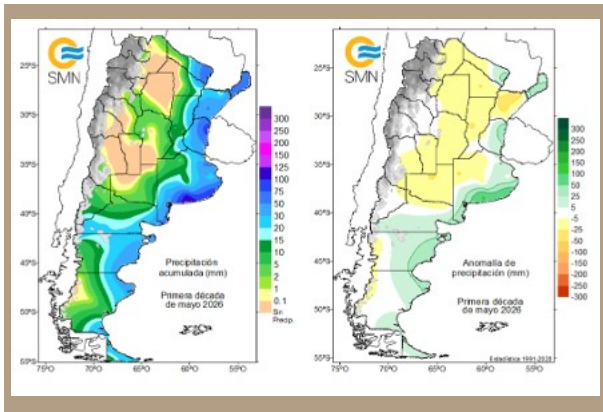


Precipitación acumulada y anomalía en la precipitación entre noviembre 2025 y abril 2026.

La precipitación acumulada para la zona de Cuenca del Salado, se encontró entre los 400 y los 600 mm, observándose una disminución en sentido este-oeste. Al analizar el mapa de la anomalía, se observa que la zona este-noreste de la cuenca presentó valores inferiores al promedio, mientras que la zona oeste presentó valores superiores.

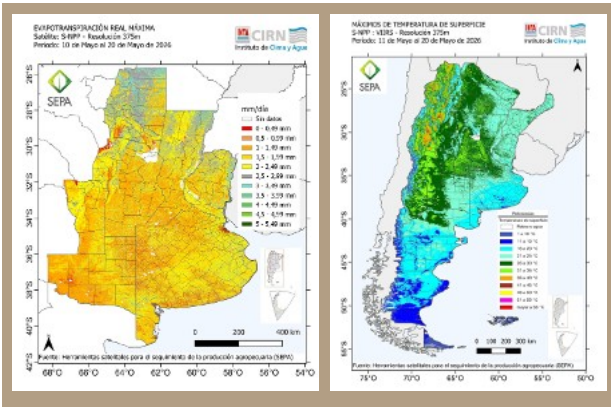
Precipitación acumulada y anomalía en los primeros 10 días de mayo 2026

Para la zona de cuenca, las precipitaciones en mayo no superaron los 75 mm (promedio). Observándose en el mapa de anomalía, que las precipitaciones superaron los valores promedios correspondientes a este período. Este dato sumado a la evapotranspiración y la temperatura condicionarán el agua disponible en el suelo.



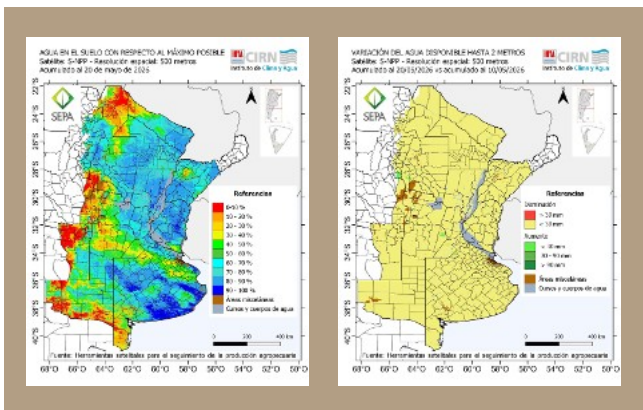
Evapotranspiración y temperatura del suelo al 20 de mayo 2026.

La evapotranspiración se encuentra, para la zona de cuenca entre 0,5 y 2,5 mm. Por su parte las temperaturas de suelo todavía resultan templadas con valores superiores a los 15 grados centígrados. Esto nos muestra que la vegetación todavía se muestra activa.



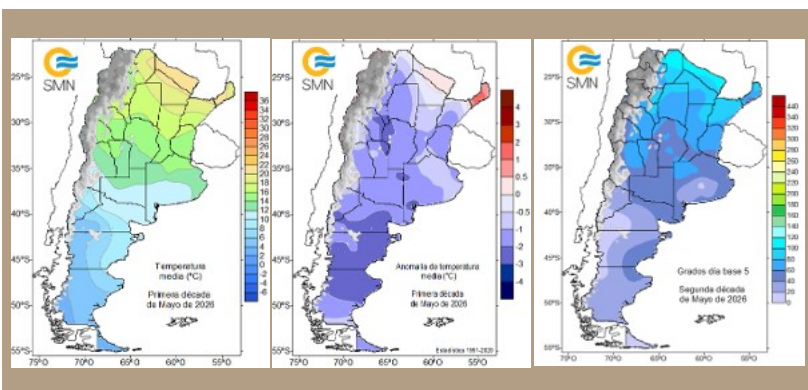
Porcentaje del agua en el suelo y su variación entre el 10 y el 20 de mayo 2026

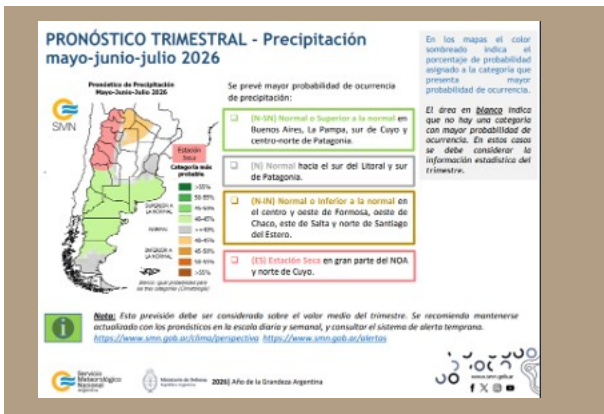
El mapa de proporción de agua en suelo, nos muestra que dentro de la zona de cuenca del salado, se observó gran variabilidad, con valores inferiores al 30% en la zona noreste y valores del 100 % en la zona sureste. Por su parte entre el 20 y el 10 de mayo, se observa una disminución del agua disponible inferior a los 30 mm.



Temperatura media, anomalía de la temperatura y grados día del mes de mayo 2026

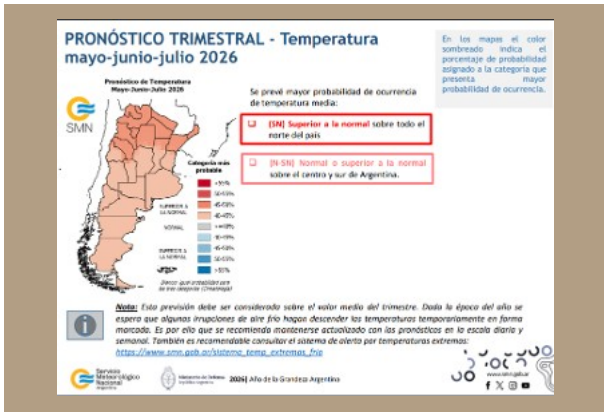
En la primer quincena de mayo, las temperaturas medias fueron superiores a los 12 grados, en gran parte de la región. La anomalía muestra que la diferencia respecto del promedio fue mínima. Solo una pequeña porción de la cuenca, presenta valores de grados días entre 0 y 10. Esto nos permite considerar que la vegetación seguirá activa.





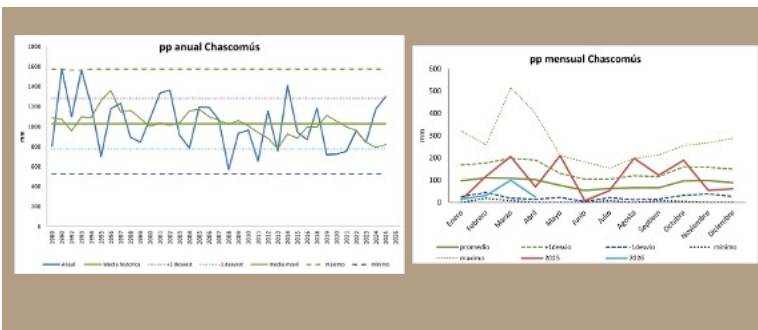
Pronóstico de precipitaciones trimestral

Para la zona de Cuenca del Salado, se estima que las precipitaciones se comportarán en valores normales o levemente superiores a la media para junio y julio



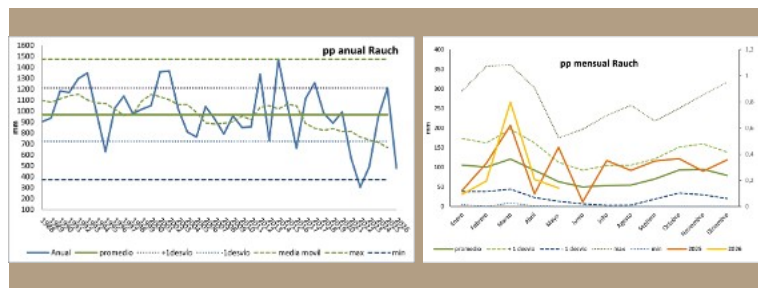
Pronóstico de temperatura trimestral

Para la zona de Cuenca del Salado, se estima que sean hasta un 40 % superiores a los valores medios para los meses de junio y julio.



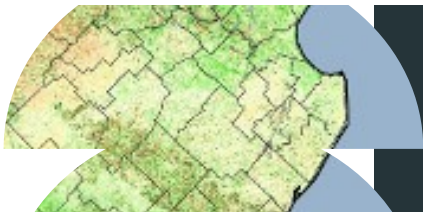
Registros de precipitación para la localidad de Chascomús

El gráfico de precipitación anual, nos muestra una alta variabilidad. Por su parte, la distribución mensual de las precipitaciones nos muestra que el invierno e inicio de primavera, tuvo precipitaciones cercanas a los valores máximos históricos, para luego caer por debajo del promedio, llegando a valores mínimos durante enero 2026.



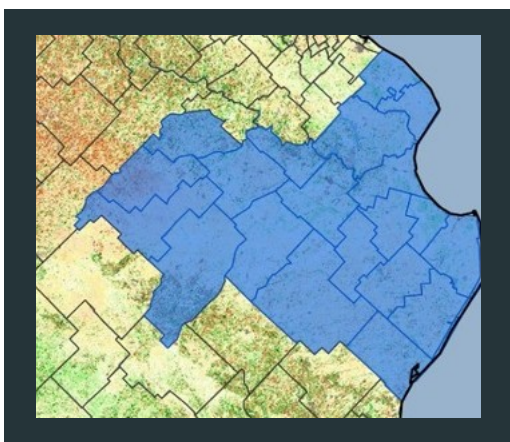
Registros de precipitación para la localidad de Rauch

La precipitación anual para 2025 resultó mayor al promedio pero dentro de la variabilidad histórica. Por su parte la precipitación mensual mostró que el mes de marzo experimentó valores superiores no solo al promedio sino al límite superior del rango de variabilidad.



INFORMACIÓN SATELITAL

A continuación mostramos la secuencia de imágenes de Anomalía del Índice Verde Normalizado (IVN) de las dos fuentes de información empleadas (GLAM, SEPA). Recordamos que la anomalía nos da una idea de cuan cerca o lejos del promedio está el valor de IVN en una fecha determinada. Valores de anomalía superiores a cero indican que el valor del IVN se encuentra por encima del promedio, esto indica que la tasa de crecimiento (estimada a partir del IVN) resulta superior al promedio para dicha fecha. Acompañando las imagen de anomalía, que se presentan para el total de los partidos del área de influencia de la EEA INTA Cuenca del Salado, se presenta el gráfico de evolución del IVN. En dicho gráfico podemos evaluar los momentos donde se producen los máximos, los mínimos y como se comporta el año en curso respecto del promedio histórico y de su desvío.



Delimitación de los partidos que se encuentran comprendidos en el área de trabajo de la EEA INTA Cuenca del Salado

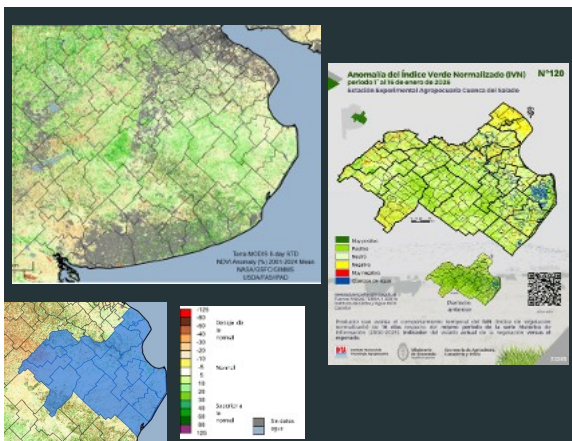


Imagen de anomalía para el período 1 al 8/1 (GLAM) y 1 al 16/1 (SEPA)

Se observa que la mayor proporción de la superficie, presenta valores de anomalía de IVN superiores al promedio. En los partidos costeros del NE y en la zona sur del partido de Azul, se observan valores inferiores al promedio.

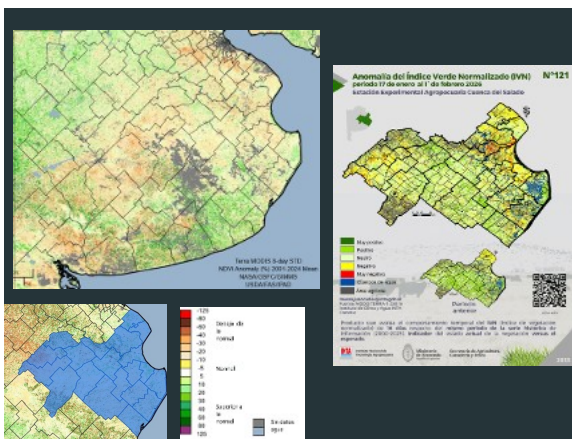


Imagen de anomalía para el período 25/1 al 1/2 (GLAM) y 17/1 al 1/2 (SEPA)

Se observa heterogeneidad entre los distintos partidos. Se visualizan dos zonas con valores negativos y una zona central con valores neutros o positivos.

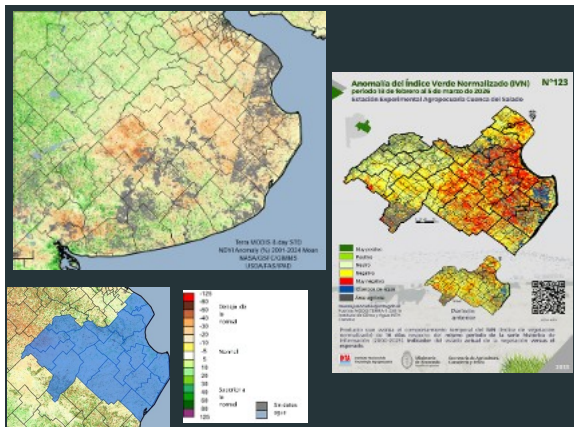


Imagen de anomalía para el período 26/2 al 5/3 (GLAM) y 18/2 al 5/3 (SEPA)

Se observa una alta proporción del área con valores negativos y muy negativos. En la imagen GLAM se observa pixeles en color gris, indicando que no se cuenta con datos de IVN para los mismos.

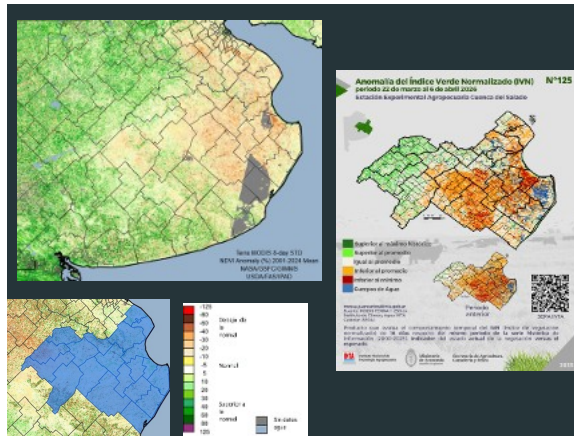


Imagen de anomalía para el período 22-29/3 (GLAM) y 22/3 al 6/4 (SEPA)

Se observa una diferencia, entre la zona centro este y la zona oeste, de los partidos de la cuenca. La mayor proporción muestra valores de anomalía negativos, mostrado así mismo zonas con valores muy negativos, mientras que Belgrano, Tapalqué, Saladillo y la parte sur de Azul, presenta valores positivos.

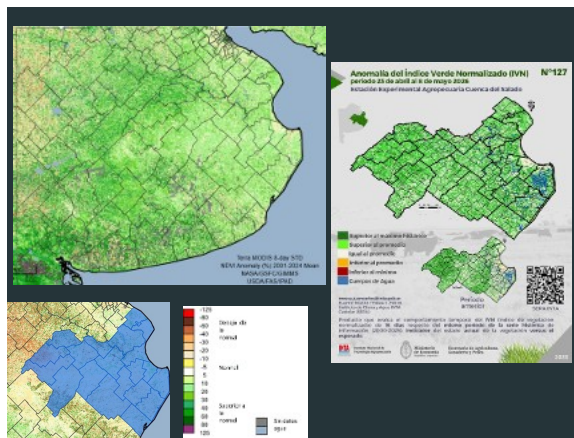


Imagen de anomalía para el período 23-30/4 (GLAM) y 23/4 al 8/5 (SEPA)

Se observa que la totalidad del área de la cuenca del salado, presenta valores de anomalía de IVN superiores al promedio. Esto se observa en la alta proporción de pixeles con colores verdes (en ambas imágenes).

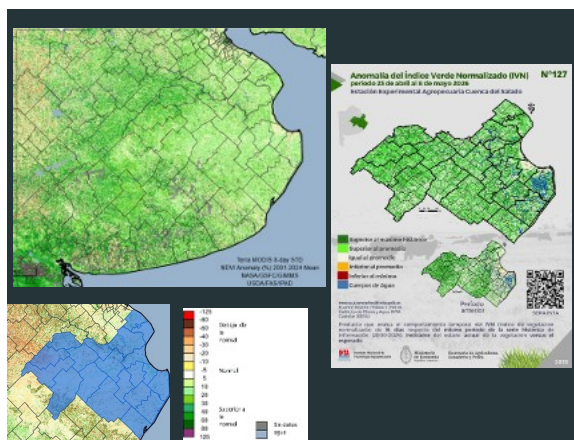
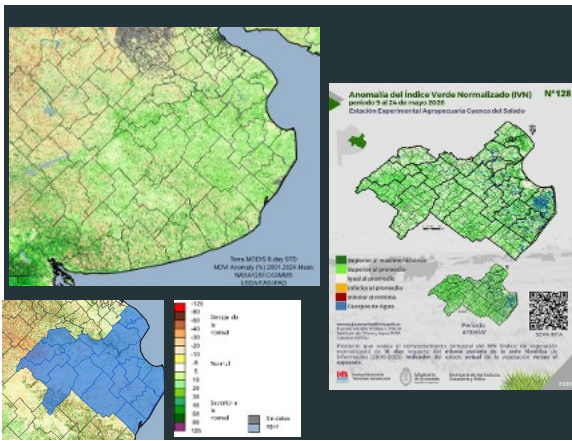


Imagen de anomalía para el período 23-30/4 (GLAM) y 23/4 al 8/5 (SEPA)

Se observa que la totalidad del área de la cuenca del salado, presenta valores de anomalía de IVN superiores al promedio. Esto se observa en la alta proporción de pixeles con colores verdes (en ambas imágenes).

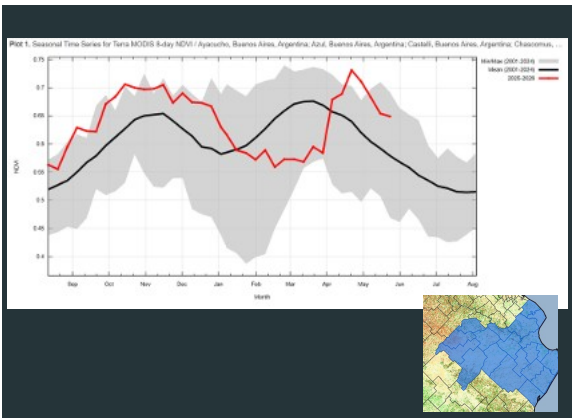
Imagen de anomalía para el período 17-24/5 (GLAM) y 9-24/5 (SEPA)

Se observa que la totalidad del área de la cuenca del salado, presenta valores de anomalía de IVN superiores al promedio. Esto se observará en la alta proporción de píxeles con colores verdes (en ambas imágenes).



Evolución del Índice Verde Normalizado a lo largo del año.

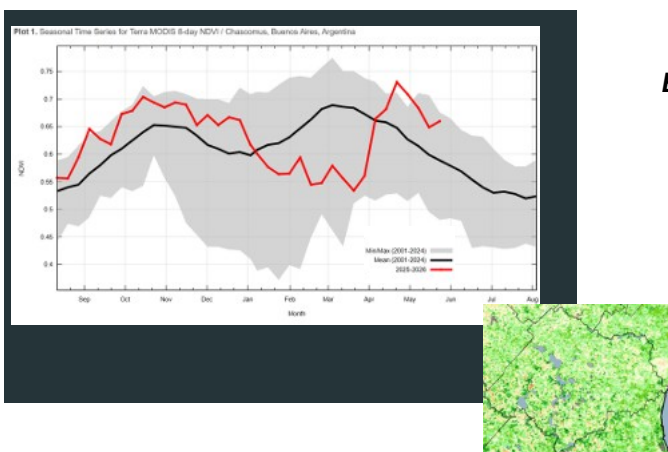
Para el total de los 24 partidos incluidos en el área de influencia de la EEA Cuenca del Salado, la evolución del IVN del año en curso muestra variaciones respecto del promedio. Durante la primavera 2025, el mismo se encontró en el límite superior del rango de variabilidad histórica. Durante el verano se produjo una caída abrupta a partir de mediados de enero, llegando a principios de abril, a los valores del límite inferior del rango de variabilidad. Durante abril se observó un incremento abrupto, llegando a superar los valores máximos del rango. Durante mayo se observa una leve reducción, manteniéndose por encima del promedio. Esto nos muestra que las tasas de crecimiento, han tenido una gran amplitud.



Es importante recordar, que el valor de IVN se obtiene en forma diferida, dado que se compila la información cada 8 o 16 días. también resulta importante considerar, que la respuesta a los eventos de lluvia se encuentra condicionada por el tipo de cobertura vegetal (pastizales naturales, pasturas, verdes) y por el estado de los mismos, respecto del uso que se realiza de los mismos. El impacto de esto estará condicionado, por la carga y manejo existente en cada establecimiento. Si bien el comportamiento promedio nos permite plantear que la disponibilidad de forraje es adecuada para la época del año, es necesario analizar el comportamiento a nivel de partido, dada la heterogeneidad interna en la Cuenca.

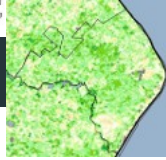
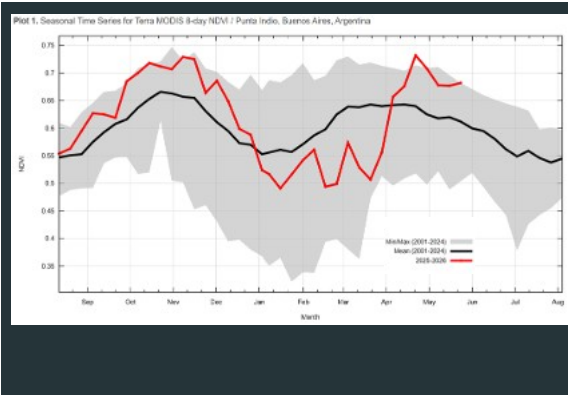
Evolución del IVN en los partidos de Chascomús-Lezama

La primavera 2025, presentó valores de IVN superiores al promedio. A partir de enero se observó una caída abrupta que se extendió durante el verano e inicio del otoño. Se observa una recuperación abrupta en el mes de abril, sosteniéndose el valor cercano al límite superior del rango de variabilidad.



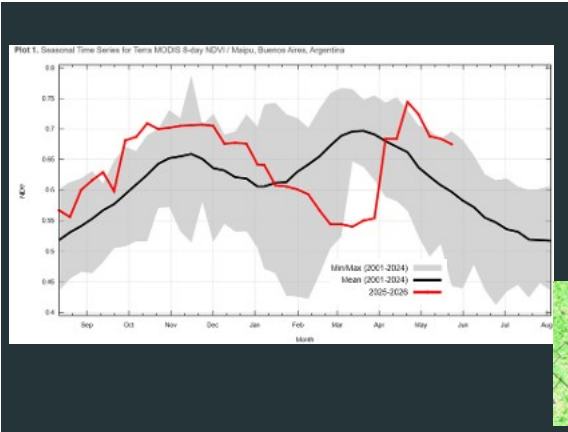
Evolución del IVN en el partido de Punta Indio

La tendencia general, se mantiene semejante al partido de Chascomús, con la diferencia que los valores de IVN siempre quedaron incluidos dentro del rango de variabilidad promedio. Superando levemente los límites cuando se produjo el aumento marcado a fines de abril



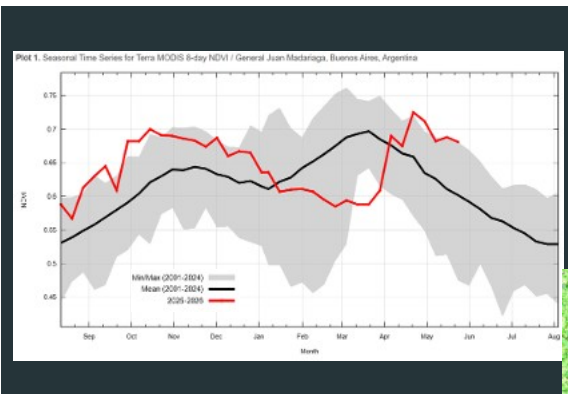
Evolución del IVN en el partido de Maipú

El patrón general es el mismo que en los partidos anteriores, pero en función de la amplitud de la variabilidad del valor de IVN para cada fecha, el valor observado durante fines de febrero y marzo resultó mas negativo que en otros partidos, al alejarse un 20 % del límite inferior del rango.



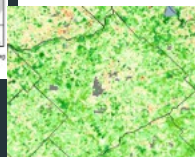
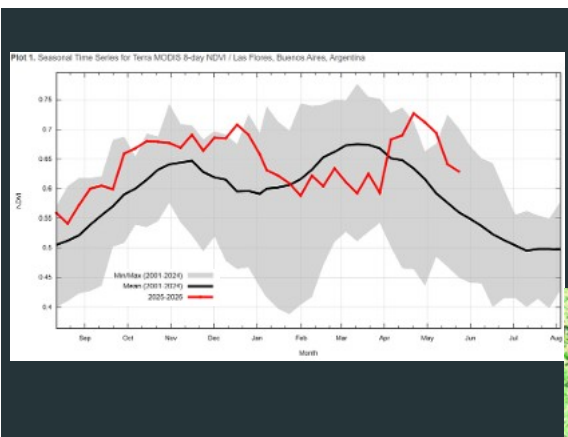
Evolución del IVN en el partido de Gral. Madariaga

Se observa el mismo comportamiento general que en Maipú, mostrando que en marzo el IVN fue menor que el límite inferior del rango de variabilidad, aunque el valor absoluto fue mayor y la diferencia del 10%.



Evolución del IVN. Las Flores

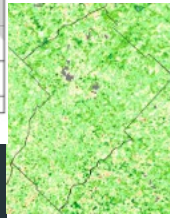
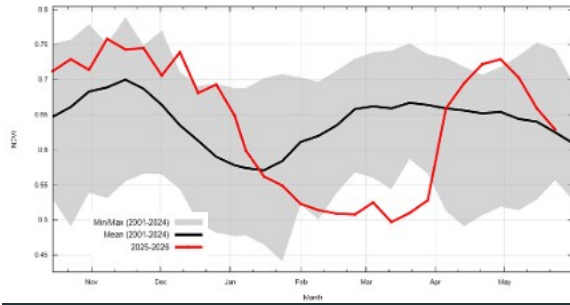
En términos generales el valor de IVN, estuvo por encima del promedio durante la mayor proporción de la estación de crecimiento. Si bien se observa una disminución entre febrero y principios de abril, el valor de alejo del promedio entre un 5 y un 10%, quedando siempre dentro del rango de variabilidad. Por un breve período de 16 días el valor superó el límite superior durando fines de abril e inicio de mayo.



Evolución del IVN. Rauch

Se mantiene el patrón general, con una primavera con valores de IVN superiores al promedio, y valores de fin de verano e inicio de otoño inferiores al promedio, llevando a disminuir por debajo del límite inferior de variabilidad, representando la disminución un 23%. A fines de abril, se observa que el valor supera el rango superior, pero rápidamente vuelve a disminuir acercándose al promedio.

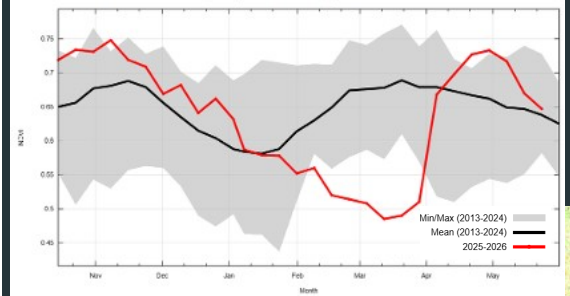
Plot 1. Seasonal Time Series for S-NPP VIIRS 8-day NDVI / Rauch, Buenos Aires, Argentina



Evolución del IVN. Ayacucho

Se puede observar el mismo patrón que en el partido de Rauch, los valores más bajos representaron una disminución del 30% en la segunda quincena de marzo. La recuperación de fines de abril fue seguida de una caída abrupta, llegando a valores semejantes al promedio.

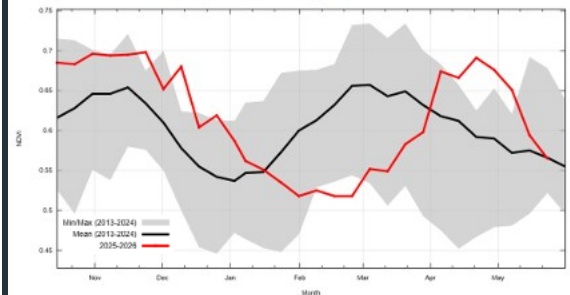
Plot 1. Seasonal Time Series for S-NPP VIIRS 8-day NDVI / Ayacucho, Buenos Aires, Argentina



Evolución del IVN. Azul

Si bien a partir de diciembre se observa la disminución del IVN, el mismo se encontraba por encima del límite superior del rango de variabilidad. La caída en los meses de febrero y marzo, representó un 17%. Se observa que la recuperación del IVN se produjo a partir de marzo. Luego de superar el límite superior en la segunda quincena de abril, se produjo una disminución abrupta, repitiendo el patrón observado en el resto de los partidos.

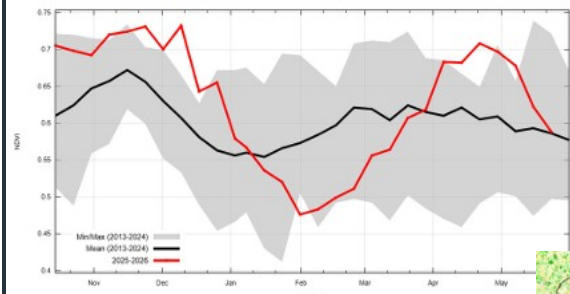
Plot 1. Seasonal Time Series for S-NPP VIIRS 8-day NDVI / Azul, Buenos Aires, Argentina



Evolución del IVN en el partido de Tapalqué

El final de la primavera presentó valores que superaron el límite superior del rango de variabilidad, descendiendo en forma abrupta en la segunda quincena de diciembre. El menor valor llegó al límite inferior del rango, recuperándose rápidamente desde febrero. El principio de otoño muestra durante abril valores que nuevamente superan el límite superior, cayendo abruptamente en la segunda quincena de mayo. Las diferencias negativas significaron un 18%.

Plot 1. Seasonal Time Series for S-NPP VIIRS 8-day NDVI / Tapalqué, Buenos Aires, Argentina

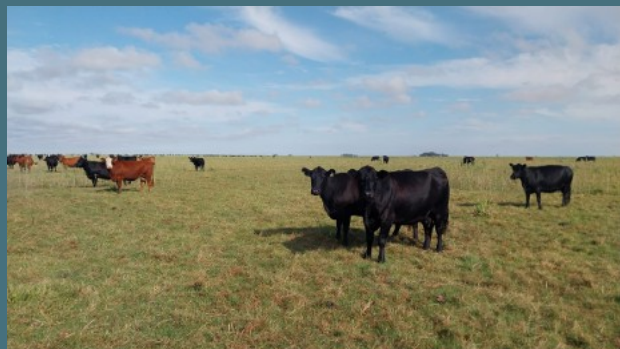




LA MIRADA DE EXTENSIONISTAS Y ASESORES

A continuación brindamos la información y percepción brindada por profesionales extensionistas-investigadores de INTA como también de asesores privados que articulan con la institución.

- Para la zona de **Chascomús, Magdalena y Punta Indio los Ing. Otondo y Martín Andersen** nos comentan que el sector norte de la Cuenca del Salado paso una excelente primavera, con un inicio del servicio con muy buena disponibilidad de forraje y condición corporal de las vacas, y ya transcurridos los primeros tactos de este otoño se observan valores de preñez muy buenos. Sin embargo durante el verano las lluvias se cortaron fuertemente y la producción y calidad de los recursos forrajeros cayo, lo que afecto en algunas zonas la generación de reservas (silajes/rollos) y la ganancia de peso de los terneros. La zafra va transcurriendo rápidamente por los buenos precios de la carne y la falta de forraje (cantidad/calidad) de los campos. Recién durante las ultimas semanas de marzo regresaron las lluvias y a inicios de abril comenzaron a establecerse las promociones de raigras, verdeos y pasturas, que aun no habían nacido por falta de humedad en los suelos. Respecto de los cultivos agrícolas de verano, las siembras tempranas lograron buenas implantaciones, mientras que las siembras tardías fueron muy afectadas por el corte en las precipitaciones. Se ha avanzado la cosecha de girasol con rindes dispares y se están levantando los primeros lotes de maíz temprano con rindes normales.



- Para la zona de la **AER Madariaga, los Med. Vet. Federico Guzmán (MSc.) y Agustín Tiberio**, nos comentan que los partidos que corresponden al área de influencia (Lavalle, Madariaga y Tordillo), comprende aproximadamente 650.000. Se trata de una región heterogénea desde el punto de

vista productivo, con ambientes agrícolas de alta aptitud en algunos sectores de General Madariaga los cuales conviven en el partido con medias lomas, bajos dulces y salados donde la cría es la principal actividad. Por su parte, Lavalle y Tordillo contienen muy poca superficie cultivable, dominando los sistemas de cría bovina sobre pastizales naturales con una importante proporción de bajos anegables.

En relación con la campaña agrícola 2024/2025, se estiman en General Madariaga aproximadamente 18.800 ha de maíz, 12.800 ha de girasol y 8.900 ha de soja. Por su parte, en Lavalle 150 ha de girasol, 80 ha de soja y 1500 ha de maíz, Tordillo 500 ha de maíz y 300 ha de soja. Los rindes observados en General Madariaga mostraron resultados variables según ambiente y disponibilidad hídrica durante el verano. En maíz se registraron producciones estimadas entre 7.500 y 12.000 kg/ha, mientras que en soja los rindes oscilaron entre 2.500 y 3.500 kg/ha. En girasol se observaron valores comprendidos entre 1.800 y 2.700 kg/ha. En los partidos de Lavalle y Tordillo los rendimientos fueron aproximadamente un 15 % inferiores respecto a los observados en Madariaga, principalmente debido a limitaciones edáficas y menor estabilidad hídrica de los ambientes productivos (se agradece el aporte de la Ing. Cecilia Salerno de la SAGYP).

Desde el punto de vista climático, la primavera presentó condiciones muy favorables hasta el mes de diciembre, con adecuada disponibilidad hídrica y temperaturas que permitieron elevadas tasas de crecimiento del recurso forrajero. Esta situación coincidió con el inicio del servicio en los rodeos de cría bovina, favoreciendo el desempeño reproductivo especialmente al inicio del servicio. Las pasturas implantadas y el pastizal natural respondieron de manera favorable durante este período, observándose una importante producción de forraje en gran parte de la región. Asimismo, los cultivos agrícolas lograron buenas implantaciones y un adecuado crecimiento inicial gracias a precipitaciones oportunas durante las etapas tempranas del ciclo.

Durante el verano se registró un período de déficit hídrico que afectó principalmente el llenado de grano en cultivos de gruesa y redujo las tasas de crecimiento de los recursos forrajeros. Las precipitaciones comenzaron a recomponerse hacia principios de marzo, mejorando progresivamente las condiciones productivas. El otoño se presentó nuevamente con buenas precipitaciones desde su inicio, permitiendo una correcta implantación de pasturas y verdeos de invierno. Estas condiciones, acompañadas por temperaturas moderadas y adecuada humedad edáfica, favorecen actualmente buenas tasas de crecimiento forrajero en gran parte de la zona de influencia de la agencia.

En términos ganaderos, las condiciones ambientales registradas durante la primavera y el otoño permitieron sostener una buena oferta forrajera en la mayoría de los establecimientos, observándose mejoras en la condición corporal de los rodeos de cría y perspectivas productivas favorables para el próximo ciclo.

- Para la zona de **Rauch, la Ing. Cesa y el Med Vet. Fernando Dumon** nos plantean: la primavera 2025, fue muy buena, generándose una alta producción de forraje y buena semillazón de las especies OIP. Esto determinó que en términos generales la condición corporal de la hacienda durante la primavera lo cual se ve reflejado en los porcentajes de preñez observados durante los tactos 2026, llegando a porcentajes promedio levemente superiores al 90%. Los servicios más

tardíos se vieron afectados por la sequía del verano que redujo la oferta forrajera. El inicio del otoño se vió retrasado por la falta de agua durante marzo. Las lluvias de fines de marzo y principios de abril, determinaron una recuperación de los recursos forrajeros, observándose la emergencia de las especies invernales anuales en los pastizales naturales y la emergencia de los verdeos de invierno. Esto debe ser tenido en cuenta, porque la respuesta de la vegetación fue muy abrupta, la vegetación emergente puede presentar algunas limitaciones en volumen y con posibles desbalances nutricionales, determinando la necesidad de estar atentos a la presencia de hipomagnesemia. Considerando que hacia fines de mayo las temperaturas han comenzado a disminuir, es posible que si bien la tasa de crecimiento había aumentado, es posible que prontamente se reduzca, no pudiendo acumularse el forraje esperado si marzo no hubiese tenido limitantes hídricas. Si bien la primavera, fue lo suficientemente buena, la producción de reservas a partir de la confección de rollos no fue tan importante. Hay que estar muy atento al estado fisiológico de la vegetación, en aquellos ambientes donde la presencia de especies invernales anuales sea muy importante, se puede presentar la situación de tener desbalances en la cantidad de fibra. Los precios internacionales del fertilizante, han impactado negativamente en la aplicación de los mismos sobre los recursos forrajeros.

En términos generales, el estado actual de la hacienda es relativamente bueno con condiciones corporales entre 2,5 y 3. Sin embargo, se observan campos con exceso de carga, aspecto que condiciona el aprovechamiento del forraje otoñal. Los tactos se han realizado durante abril y mayo, descartando vacas de inferior estado, vacías o viejas. Dado que los servicios, presentan cierta amplitud, durante mayo se observaban campos que estaban organizando sus destetes, en muchos casos los mismos se hacen en forma escalonada en función de si son terneros cabeza, cuerpo o cola.

Si bien la zona es predominantemente ganadera, los lotes empleados para agricultura muestran que los destinados a girasol, fueron cosechados en su totalidad entre marzo y principios de abril, mientras que los de maíz y soja se encuentran en distintos estadios y rindes. La cosecha de ambos se viene realizando, y también se observan algunos lotes de maíz de bajo rinde que han sido destinados a pastoreo directo.



- En la zona de **Las Flores**, tenemos los aportes del **Ing. Agr. Sebastián Sánchez, y del Med. Vet. Jorge Dieguez** nos aportan sus comentarios. Se observó que en corto tiempo se redujeron las reservas de agua en el suelo durante el verano, condicionando el inicio del otoño. Pensando en los rodeos de cría como principal actividad en los establecimientos de la Cuenca debemos considerar varias patologías, que de la mano del clima e intensificación, vemos incrementada su participación en resultados negativos de servicios, presentación de abortos y pérdidas de condición corporal afectando ganancias de peso y en algunos casos la muerte de los animales afectados, siendo las principales: Leptospirosis, Neosporosis, Paratuberculosis, Sarna y Parasitos internos. Cada una merece un tratamiento particular, donde el productor de la mano del profesional que lo asiste debe diseñar su plan de control y tratamiento, poniendo en valor la necesidad de atenderlas. El aumento de animales positivos es significativo, pérdidas de 10/15% de Leptospirosis, de 8 a 10% pasamos a rodeos con 30% de positivos en Neospora, de 1 a 2 % pasamos a 10/12 % de positivos en Paratuberculosis, la sarna representa en algunos establecimientos un grave problema de pérdida de kg sobre todo en recrias y engordes mostrando fallas importantes en los tratamientos por resistencia a las drogas disponibles, las parasitosis internas imponen establecer estrategias de control y tratamiento particulares pensando también en la existencia de cepas resistentes a las drogas disponibles para tratarlos.

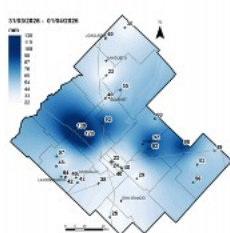
Luego de las esperadas lluvias de otoño, las condiciones de humedad y temperatura despertaron el mundo parasitario, ofreciendo condiciones inmejorables a huevos y larvas infectantes, que rápidamente se expresaron en los muestreos de hpg mostrando la necesidad de controles parasitarios aun en animales tratados con no mas de 45/60 días. Es importante, realizar controles postratamiento, evitando el uso de drogas que presenten resistencia en el establecimiento y como consecuencia no poder reducir las cargas parasitarias que continúen afectando las ganancias de peso. Esto tendría impacto en el aprovechamiento de los recursos forrajeros.

Los diagnósticos de gestación son de buenos a muy buenos, según lo esperado después de una primavera con buenas lluvias y en muchos casos a pesar de los anegamientos, en general superando el 90% con buenas concentraciones de preñez de cabeza y cuerpo también condiciones corporales favorables para una pronta recuperación de los vientres anticipando el aprovechamiento de los recursos forrajeros a las primeras heladas. Los establecimientos que no lograron estos resultados deben ser revisados, diagnosticadas las fallas y trabajar en la recuperación de las CC lo antes posible. Recordemos que las propuestas sanitarias y de alimentación deben ser parte de una planificación que permita inversiones y medidas de manejo que anticipen futuras pérdidas, aprovechando además los excelentes valores de la ganadería.

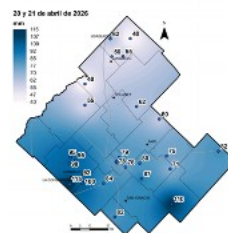


- Para la zona de **Ayacucho**, nos basamos en el informe generado por integrantes de la AER , Ing. Marcelo Braco, Pedro Ezcurdia, Med. Vet. Dante Huica y Téc. Juan Carlos Messa. <https://repositorio.inta.gov.ar/handle/20.500.12123/26274>

Las precipitaciones acumuladas entre enero y abril fueron de 255 mm, correspondiendo esto a el 26% de la precipitación anual, y un 35% inferiores al promedio de los últimos 5 años que corresponde a 395 mm. Dentro del partido se observa una importante variabilidad espacial y de cantidad de las precipitaciones ocurridas. Se presenta como ejemplo, dos fechas de eventos de precipitación.



1 de abril de 2026



20 y 21 de abril de 2026

Durante fin del verano y principios de otoño se registró una intensa sequía, con bajas precipitaciones y altas temperaturas que afectaron los sistemas ganaderos y agrícolas del partido. En abril se produjo una recuperación hídrica que mejoró notablemente los recursos forrajeros, aunque los cultivos para cosecha no lograron recomponerse totalmente y se vieron afectados los rindes.

En relación a los rodeos se observa que la condición corporal general es buena 2,8–3 (escala 1 a 5). Se vio una recuperación favorecida por lluvias otoñales y los destetes. Hay buen escenario para recría. La preñez evaluada en los tactos resulta en promedio cercana al 90%.

En relación a los recursos forrajeros, tanto los pastizales naturales como las pasturas y verdes se encuentran en buen estado, luego de su recuperación con las lluvias de abril. Durante el verano se observó un importante déficit forrajero. Los principales problemas se observan en potreros con sobrepastoreo o alta carga animal. Las pasturas presentan baja cobertura de malezas. Se observa una aceptable producción de materia seca para la época del año. Se destaca la buena respuesta de leguminosas como trébol blanco y lotus tenuis. El estado general

de los verdeos es regular a bueno, con buena densidad de plantas. En algunos lotes se detectó presencia de malezas.

El referencia a los cultivos de verano, el estado general de los maíces es regular a bueno, con diferencias entre ambientes y lotes. Se observan cultivos en distintos estadios, desde madurez fisiológica hasta lotes listos para cosecha. En varios casos la cosecha se encuentra demorada por alta humedad en grano y condiciones húmedas del período. Los lotes de girasol, se han cosechado en su totalidad, con rindes muy dispares. Los lotes sembrados temprano tuvieron rindes entre 2500 a 3000 kg. y los tardíos máximo 2000 kilos y muchos de 1300/1500 kg. Se observa que en general no hay cultivo sucesor y algunos con gran presencia de malezas.



- En la zona de **Maipú, la Ing. Casal** nos comenta que las siembras de verdeos que se han realizado temprano, han tenido muy buen desempeño, asociado a la recuperación de las lluvias de fines de marzo y abril. Esto también permitió recuperar la vegetación en los campos naturales, donde se evidencia tanto la presencia de lotus como de raigrás. La hacienda en términos generales se encuentra en buen estado corporal.
- Para la zona de Tapalqué-Cacharí el **Ing. Santiago Balda**, entre enero - feb- marzo la falta de lluvias provocaron un descenso de la Napa freática y en consecuencia la disminución del crecimiento de los pastizales, pasturas y cultivos de maíz, soja y sorgo. En mucho casos fracasaron los cultivos que fueron sembrados en diciembre. La realización de verdeos de invierno se vio retrasada. A partir de inicio de marzo volvieron las lluvias y con ello se pudo comenzar a sembrar verdeos y pasturas. Las temperaturas altas permitieron tener una buena implantación de las mismas y los pastizales reiniciaron su crecimiento. En estos momentos, la disponibilidad forrajera se ha recuperado. Dadas las características de los suelos, las lluvias de mayo recuperaron las napas. De producirse nuevos eventos de precipitación en forma recurrente podría pasarse a la situación de anegamiento parcial en las posiciones mas bajas del paisaje. En

relación a la hacienda, se puede decir que la misma se encuentra en una condición corporal adecuada para el destete, que se ha concluido recientemente.

Como siempre planteamos, es importante poder tomar las decisiones acompañados por un profesional que nos ayude a establecer en primer medida un diagnóstico de situación, para luego definir las prioridades de las acciones a tomar.

Como recomendaciones generales podemos plantear:

- ✔ realizar el ajuste de carga y la priorización de categorías haciendo uso estratégico de los recursos de mayor productividad en las categorías de mayor demanda nutricional
- ✔ identificar y reservar los potreros a ser utilizados durante las pariciones
- ✔ Se recomienda continuar con manejo rotativo y enrollado en casos de exceso de materia verde para preservar las especies más sensibles.
- ✔ monitorear la condición corporal, hasta el momento en general el estado corporal es bueno pero en breve comienzan los partos y la lactancia.
- ✔ monitorear la carga parasitaria de parásitos internos mediante la evaluación de HPG, promoviendo junto a su veterinario un manejo estratégico. La identificación de los parásitos presentes permite adecuar el tratamiento.
- ✔ los destetes generan una depresión inmunitaria de los animales, esto requiere que el personal de campo esté atento durante las recorridas para dar el aviso a tiempo.
- ✔ estar atento a las parasitosis externas (sarna, piojo) y a los procesos respiratorios como la neumonía
- ✔ realizar el monitoreo de bostas, especialmente por los rebrotes otoñales y la aparición de especies anuales, como indicador de desbalances metabólicos.